

雷达站特殊元件

結構設計与工艺

内部教材

姬德兴編

北京科学教育編輯室

1962. 1

序 言

无线电工业是我国社会主义建設中一个重要组成部分。在现代无线电技术領域中，脈冲——微波技术的发展，已經取得了許多重要的成就，並有着极为宽广的发展前途。

众所周知，任何无线电设备，都是由成千上万个元件所組成的。其中包括在各种设备中通用的元件（例如，电阻、电容、电位器等等通用元件），也包括根据设备的特殊用途和技术要求而設計制造出来的所謂特殊元件。不提高元件的技术水平，无线电技术的发展是不可想像的。

因此，研究和制造用于近代无线电设备中底这些特殊元件，是十分重要的。

本課程所闡述的，乃是用于雷达站中的，某些最主要的特殊元件底结构設計和制造工艺。

结构設計和制造工艺，在无线电工程中，具有极为重要的地位，不是偶然的。无线电技术的发展，是跟基于一定理論基础，日益进步的生产技术和不断丰富的經驗，而能在实际上創制出完美和新颖的无线电元件及装备所不可分割的。尤其在近代，对无线电设备提出了愈来愈高的技术要求，例如；准确性高、体积小、重量輕，並能在各种恶劣的自然环境、工作条件下，具有高度稳定性，等等。显然，滿足这些要求，只图通过改良电路的唯一途径，往往並不有效，必須在结构工艺上采取措施。

大家知道，设备的技术性能，在很大程度上，取决于用以裝备它的各別元件之質量。这可以从可靠性來論証它：

$$H_{\text{总}} = H_1 \times H_2 \times H_3 \times \dots \dots$$

式中， $H_{\text{总}}$ 表示设备的可靠性，而 H_1 、 H_2 、 H_3 ……分別表示組成該设备的全部元件的各別可靠性。由此式可見，如欲提高设备的可靠程度，必先提高各元件的可靠性；並且各个元件的可靠性，應該高于整套设备的可靠性；而如果设备中包含着一些可靠性低的元件，則該设备的总可靠性之高低，将首先决定于这几个不大可靠的元件。

从可靠性方面推想可知，提高元件的各个質量指标，努力发展元件的設計和制造技术，确是极其重要的。

在本門課中，共分为两篇。第一篇闡述各种用途的人工綫，其中包括各种延迟綫及雷达发射机里脈冲調制器中的脈冲形成綫；各种脈冲变压器；指示器中的磁偏轉系統及移相电容器。在学习本篇前，学生应具备脈冲技术的理論基础，和有关雷达发射机、指示器的一定的专业知識，从而有助于在本課中，根据它們的电參量要求分析其結構特点，討論其結構設計方法、制造工艺中的問題，关于測試方法；也作了一些介紹。

第二篇闡述最常用的几种微波元件。該篇是在学完“电磁場理論”課后学习的。微波元件种类很多，不可能一一詳加討論，祇能擇其重要的应用最多者进行較詳細地闡述。微波元件是在同軸傳輸綫——波导管的技术基础上发展出来的，型式、用途不一，分类方法也很多：有按微波网络的端偶数分的，有按均匀或非均匀的特性分的，也有按其用途来分的。本課程

對微波元件的研究，偏重于它的实际结构及应用，因此在这一篇里乃針對主要的微波元件，按其不同用途，分別討論之。其中包括：諧振綫、諧振腔、傳輸綫及其接头、短路及电抗元件、衰減器、終端器、移相器、过渡匹配元件与方向耦合器等。通过本篇学习，使学生掌握一般微波元件的基本工作原理，了解其性能指标，並能进行結構設計及有关电參量同結構工艺的分析。

微波元件通常采用精密的机械加工来制造，有关精密机械加工工艺方面的知識，在“仪器制造工艺学”課程中，皆作了詳尽的討論，本課程将不作重复地叙述。

微波元件随着微波技术的发展而不断的发展。对于絕大多数微波元件說来，无论其结构、型式如何，在电气性能上，通常要求它具有小的駐波比和寬广的頻帶，並要求相应的減小重量、縮小体积、簡化结构和便于加工。

由于微波技术的巨大应用价值，和不断縮短波长的重要性，无线电电子学所采用的波段正在不断展寬、发展，过去大約每十年开辟一个新波段。随着工作波长之不断縮短的毫米波甚至更短波长的发展中，在微波元件的結構上，和由于加工方法上出現的技术局限性，必将导致结构工艺新的革命。

雷达站特殊元件結構設計与工艺

目 錄

序 言

第一篇 脈冲設備元件

第一章 人工綫.....	1
第二章 脈冲變壓器.....	46
第三章 偏轉線圈與聚焦線圈.....	81
第四章 移相電容器.....	99

第二篇 微波設備元件

第五章 諧振綫	112
第六章 諧振腔	146
第七章 微波傳輸綫及其接頭	161✓
第八章 短路及電抗元件	187✓
第九章 衰減器及終端器	198✓
第十章 移相器	232
第十一章 微波傳輸綫過渡元件	244
第十二章 方向耦合器	258

第一章 人 工 線

1.1 概 述

人工線是脈沖技術設備中重要元件之一，用它可以延遲脈沖和形成脈沖。

在很多場合里，常有必要將脈沖延遲一段時間，並且要求延遲後的脈沖形狀在允許的範圍內。例如在普通示波器中只能觀察連續波形，但在線路上加了延遲電路，如圖1.1.1所示，則普通示波器就可成為脈沖示波器，即能觀察脈沖波形。其延遲電路乃由人工線來組成。

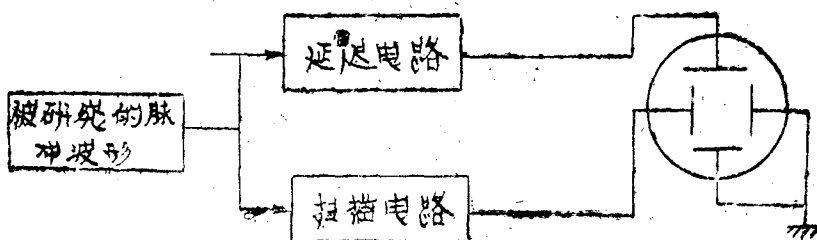


圖 1.1.1 脈沖示波器方塊圖

在雷達站中，人工線是用来產生周期性的大功率脈沖高壓來調制發射機的超高頻或微波振盪器。人工線是調制器的一個組成部分，如圖1.1.2所示，借開關之助，在負載兩端可以得到矩形波。

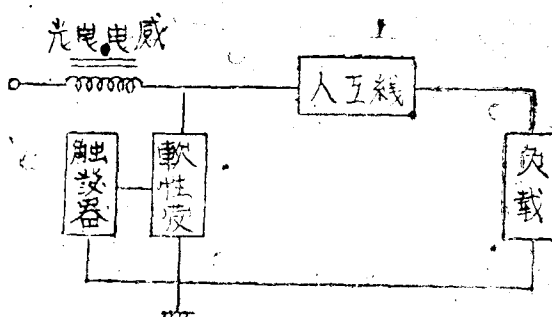


圖 1.1.2 調制器方塊圖

用于儲能元件的人工線，可以分为电感儲能和电容儲能两种。电感儲能調制器由于效率和改善波形矛盾，用得很少；而电容儲能者的波形和效率是不矛盾的，波形好时效率也高，因而它被广泛的采用做为脈冲調制器中的儲能元件。

§ 1.2 电磁式延迟线

(一) 工作原理

脈冲的延迟可用傳輸線來作到。如所周知，电磁波沿傳輸線傳送时有其一定速度，即等于光速。当傳輸線的始端有电压脈冲輸入时，这个脈冲便沿線向終端推。进如果 $\tau = \frac{l}{C}$ ，則出現在線終端脈冲在出現時間上要比終始端的輸入脈冲落后一段時間，這段時間等

$$\tau = \frac{l}{C} = \frac{l}{300} \text{ 微秒}$$

式中 C 是光速，線長 l 的單位是米。

如果傳輸線沒有損耗而線終端又无反射，則脈冲通過傳輸線时不发生畸变，因为无損耗線的波阻抗 $w = \sqrt{\frac{L}{C}}$ 及时延 $\tau_0 = \sqrt{LC}$ (或相移 $\alpha = \omega\sqrt{LC}$) 都不隨脈冲所含諧波的頻率而變。

但是，用真實傳輸線來延迟脈冲事实上是做不到的，因为仅仅要求延迟 1 微秒时，傳輸線的長度就該 300 米。

为了使線的長度能为实际設備所接受，必須将真實傳輸線的分布参数集中起来，这就是說，必須用具有集总参数的线圈和电容器构成人工傳輸線来代替真實傳輸線。不过以后将看到，这样代替之后，脈冲形状将发生某些畸变。

电磁式延迟线又可分为分布參數式和集中參數式两种。

(二) 分布參量的电磁式延迟线：

最简单的具有分布參量的电磁式延迟线的结构是一段同軸電纜。对于这种線，我們有

$$w = \sqrt{\frac{L_1}{C_1}} \quad \tau = \sqrt{L_1 C_1} l$$

其中：

L_1 ——单位長度的电感量

C_1 ——单位長度的电容量

l ——電纜的長度

延迟时间也可表成如下形式

$$\tau = 0.33 \times 10^{-6} l \sqrt{\epsilon} \text{ 秒}$$

其中： l ——電纜長度 (厘米)；

ϵ ——媒質的介電常数。

高频電纜中填有介質，但因其 ϵ 一般也不大，並不能使長度問題获致改善。为了得到

微秒的延迟，具有聚乙稀的电缆，也須有 200 米长。

倘如同軸电缆的一根导体做成电感线圈的形式則延迟线的体积就会減小。

这种延迟线的结构示于图 (1.2.1)。

线的螺旋式导线平绕在聚乙稀管子上，导线直径为 0.575 毫米 (每厘米长度为 1.5 匝)，内导体与外导体之间的绝缘也是聚乙稀，外导体用直径为 0.15 毫米的绝缘铜导线的编绞物制成的。要有聚乙稀保护外壳。延迟线的参数为 $w = 830$ 欧和 $\tau = 1$ 微秒/每 50 米。

类似这样的延迟线，可以作成可变延迟线，見图 (1.2.2) 电缆内导体作成螺旋式绕组型式，繞于绝缘基体上，并使之接地，处于地电位，包以绝缘介质夹层后，再绕以螺旋式绕组的外导体。当把此电缆制成环形以后，以接触刷沿着电缆环的外导体转动接触，即可获得可变延时的效果。

电缆的終端负载應該等于其特性阻抗，以免产生反射，负载接在接触刷与地之間。可以想見，接触刷在电缆上的压力應該尽量不大，否則，勢将改变线的分布电容量。

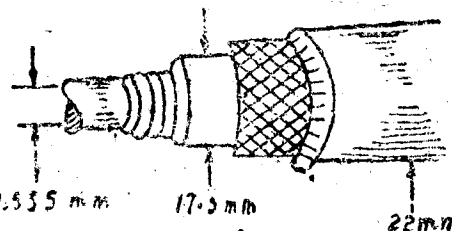


圖 1.2.1 均匀延時線的結構

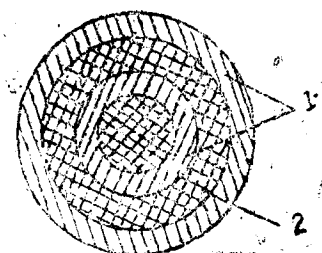
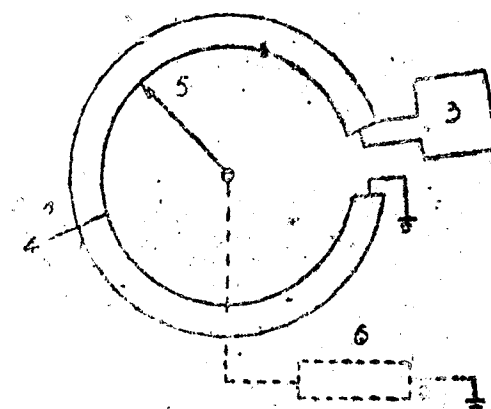


圖 1.2.2 可變延遲線。

1—內外導體 2—絕緣 3—脈沖源 4—環形延遲線外表
5—接觸刷 6—外接負載

理論上說，延迟线为均匀的。而实际上，它们的参数随着信号频率而变，而且沿着长度是不均匀的。

线的电容量随着频率变化，是因为当线的长度与波长可比較时，沿不同线匝流通的电流发生相位移，这将导致电容量随着频率的增高而減小，或者說，延迟时间随频率之增高而減小。为此，可以采用附加分流电容的方法来校正这种不良的频率特性。

圖(1.2.3)示出具有校正措施的均匀線結構。在直徑為 6.25 毫米絕緣管上用噴銅或胶合銅的方法沿縱長方向復蓋四條相等的導電層，間隙 0.8 毫米；其中三條接地，而第四條又分裂為一系列片狀，每片長度 24.6 毫米，間隙 0.8 毫米；導電層外敷上薄的絕緣層，再繞以直徑為 0.106 絶緣導線。此線 25 厘米長可延遲 1 微秒，延遲頻率特性見圖(1.2.4)。

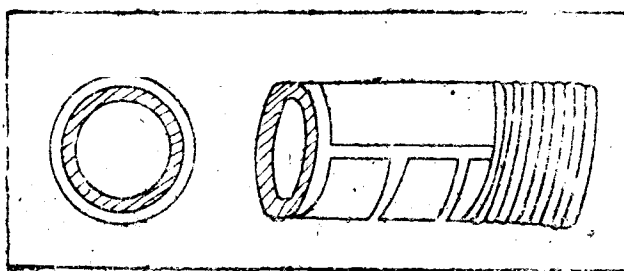


圖 1.2.3 具有校正片的均勻線

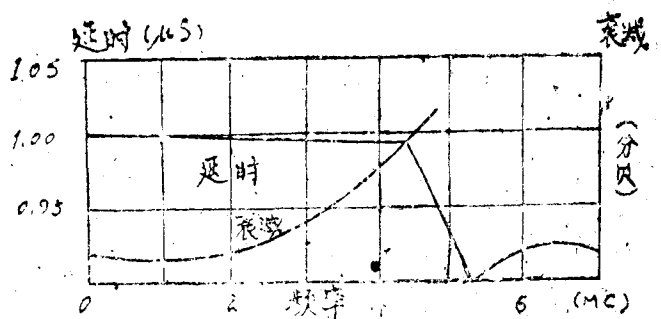


圖 1.2.4

可以這樣來理解這種校正。在如同一般延遲線那樣只有外繞導線、內有一條接地導體的時候，由於在頻率增高時，電感性電流的相位滯後而使線的有效電感量下降，所以它的頻率特性是逐漸趨低的形狀（見圖 1.2.5 中 $N=0$ ）。當再增加一條接地內導體時，即內導體兩條都接地，起始延遲時間將因對地電容增加一倍而增加了 $\sqrt{2}$ 倍，但畢竟依然受電感電流滯後效應之影響，以致高頻時頻率特性仍是趨於下落。於是將兩條內導體中任一條加以分裂為相等的部分。這時，起始延遲時間，即低頻始點又回到原來數值，（因分裂後，沒有 $\sqrt{2}$ 倍的對地電容了），但是隨著頻率之提高，出現若干點處電感性電流滯後和電容性電流超前的相等而抵消，只不過這些頻率點是間隔著的，不連續的，造成頻率特性曲線的波動狀況，即時而電感性電流大，又時而電容性電流大。而點的趨勢又必然是下落的，因為隨著頻率之增加，電感，電容數值變化了，儘管有些點二者相移了的電流會出現抵消。

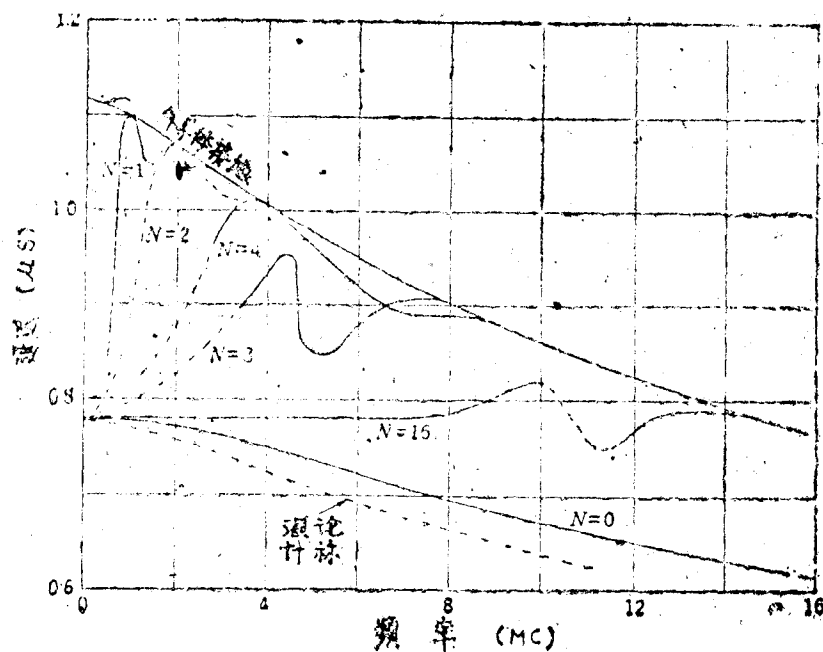


圖 1.2.5 校正片對延遲線頻率特性的影响。

當我們把分裂內導體加以更多的分裂，使之分裂數目 $N = 2, 4, 8, 16 \dots \dots$ （見圖），亦即在沿線發生每匝電感電流滯後效應時，就會得到几乎是沿線各處的電容電流之超前相應補償。所以增多分裂片 N 數值的效果是良好的。這種抵消（補償），在 $N=1$ 時，處于 $\frac{1}{T}$, $\frac{2}{T}$ 等頻率上；在 $N=2$ 時，處于 $\frac{2}{T}$, $\frac{4}{T}$ 等頻率上；繼續分裂下去，得到的抵消點頻率值也在正比地增加了；在足夠多的校正片時，特性曲線抵消效應處的特性最大點表現得不很尖銳。因而這種方法可以利用來校正頻率特性。

特性曲線的形狀可以用選擇校正片的長度和密度，以及螺旋線與校正片間絕緣層厚度來達到某種程度的改變。實際上特性曲線到頻率 $f = 0.8f_p$ 是均勻的，因而校正片數量可以作為：

$$N > 2Tf_p$$

式中， f_p 為特性曲線上第一個明顯的突起點頻率，這一頻率時的延遲為 T 。

線的不均勻性的另一原因，如前所述，是電感量沿着線之長度不等。這是由於螺旋線邊緣部分的線匝通過互感只能與較少數量的鄰近線匝耦合。這個缺點可以用增加最後幾匝的直徑或利用在線兩端插入鐵磁材料的方法來校正。

(三) 集中參量的電磁延遲線

具有集中參量的延遲線常被稱為人工傳輸線。

參數集中呈網狀，有兩種型式：T型和Π型，如圖(1.2.6)所示。

對延遲線可以提出這樣的要求，即

- (1) 以尽可能少的網路段數來保證必需的延遲時間；
- (2) 延遲後的脈衝，其波形畸變應該限於許可的範圍內。

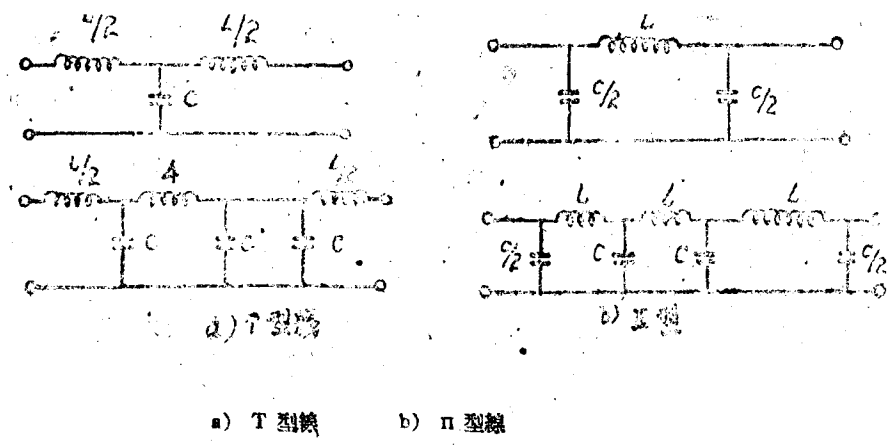


圖 1.2.6. 集中參數網路型式

1) T形鏈形網路。

延遲線的負載必須與線匹配，否則將在線終端產生反射。對T型或Π型網路來說，如果接在輸出端的負載 w_T 能使輸入端的等效阻抗也是 w_T （參看圖1.2.7），則在許多段同樣的網路串接在一起時，整個鏈型網路的輸入阻抗及任一段的輸入阻抗都等於 w_T ，在這種情況下，始端的輸入脈衝便可無反射地通過各段網路以達終端負載。這樣的負載阻抗 w_T 稱作T形網路的特性阻抗，現在來求 w_T 與網路參數及頻率之間的關係。

參照圖1.2.7，我們有：

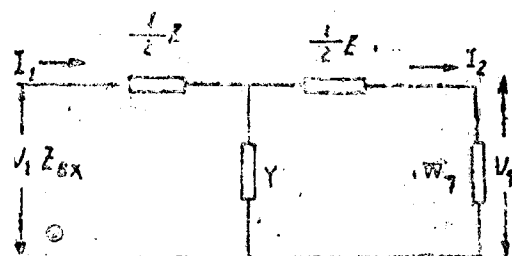


圖 1.2.7

$$\dot{I}_1 = \dot{I}_2 + (\dot{U}_1 + \dot{I}_2 \frac{Z}{2})Y = \dot{I}_2 (1 + \frac{ZY}{2}) + \dot{U}_2 Y \quad (1.2.1)$$

$$\dot{U}_2 = \dot{I}_1 \frac{Z}{2} + \dot{I}_2 \frac{Z}{2} + \dot{U}_2, \quad (1.2.2)$$

$$\dot{U}_2 = \dot{I}_2 w_T \quad (1.2.3)$$

以(1.2.3)式代入(1.2.1)式，可以求得

$$\dot{I}_2 = \frac{\dot{I}_2}{1 + \frac{ZY}{2} + w_T Y} \quad (1.2.4)$$

以(1.2.3)式和(1.2.4)式代入(1.2.2)式，得到

$$\dot{U}_1 = \dot{I}_2 \frac{Z}{2} + \dot{I}_1 - \frac{\frac{Z}{2} + w_T}{1 + \frac{ZY}{2} + Yw_T} \quad (1.2.5)$$

网络的输入阻抗是

$$Z_{BX} = \frac{\dot{U}_1}{\dot{I}_1} = \frac{Z}{2} + \frac{Z + 2w_T}{2 + ZY + 2Yw_T}$$

令 $Z_{BX} = w_T$ 可以从上式解得

$$w_T = \sqrt{\frac{L}{C}} \sqrt{1 + \frac{ZY}{4}} \quad (1.2.6)$$

因为 $Z = j\omega L$, $Y = j\omega C$ 所以

$$w_T = \sqrt{\frac{L}{C}} \sqrt{1 + \frac{1}{4} \omega^2 LC} \quad (1.2.7)$$

(1.2.7)式指出，在

$$\omega = \omega_c = \frac{2}{\sqrt{LC}} \quad (1.2.8)$$

时 $w_T = 0$; 在 $\omega < \omega_c$ 时, w_T 是一个纯电阻; 在 $\omega > \omega_c$ 时, w_T 是一电感性电抗。如图

1.2.8 所示

要使 T 形链型网络在终端和段际不产生反射。终端负载必须等于特性阻抗 w_T , 但是特性阻抗是随输入信号频率而改变的。在信号频率高于 ω_c 时, 负载阻抗必须是电感性的才能避免反射。可是电感性的负载不能接受信号能

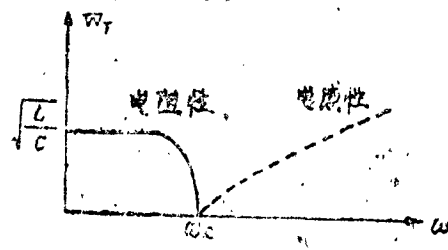


图 1.2.8 T型网络特性阻抗与频率的关系

量，因此当信号频率高于 ω_c 时，T 形链型网络实际不能傳送信号，而频率 ω_c 也因而被称为截止频率。

在負載匹配时，輸出 \dot{U}_2 与輸入 \dot{U}_1 之間的关系可以求之如下：

将 (1.2.3) 式代入 (1.2.1) 式后，在把所得 I_1 与 \dot{U}_2 的关系式代入 (1.2.5) 式結果得到

$$\dot{U}_1 = \dot{U}_2 \left[1 + \frac{ZY}{2} + \frac{\Delta Z + Z^2 Y}{4w_s} \right]$$

以 (1.2.6) 式代入上式后，得到

$$\begin{aligned} \dot{U}_1 &= \dot{U}_2 \left[1 + \frac{ZY}{2} + Yw_T \right] \\ &= \dot{U}_2 \left[\left(1 - \frac{1}{2} \omega^2 LC \right) + j\omega \sqrt{LC} \sqrt{1 - \frac{1}{4} \omega^2 LC} \right] \\ &= \dot{U}_2 (A + jB) \end{aligned} \quad (1.2.9)$$

在 $\omega \leq \omega_c$ 时，我們有 $\sqrt{A^2 + B^2} = 1$ ，所以

$$\text{其中 } \theta = \tan^{-1} \frac{\omega \sqrt{LC} \sqrt{1 - \frac{1}{4} \omega^2 LC}}{1 - \frac{1}{2} \omega^2 LC} \quad (1.2.10)$$

这个結果說明，在負載匹配及信号频率不高于截止频率时，T 形网络的輸出电压与輸入电压的振幅相等，也就是沒有衰減（在不考慮电感线圈的損耗时）；但輸出电压的相位比輸入电压滞后了 θ 角，並且这个角的大小与频率有关。

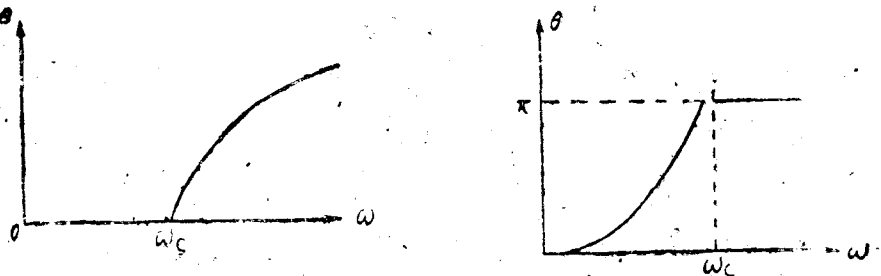
在 $\omega > \omega_c$ 时

$$\begin{aligned} \dot{U}_1 &= \dot{U}_2 \left[\left(1 - \frac{1}{2} \omega^2 LC \right) - \omega \sqrt{LC} \sqrt{\frac{1}{4} \omega^2 LC - 1} \right] \\ &= -\dot{U}_2 \left[\frac{1}{2} \omega^2 LC - 1 + \omega \sqrt{LC} \sqrt{\frac{1}{4} \omega^2 LC - 1} \right] \end{aligned}$$

这就是說，輸出电压比輸入电压小，並且相位比輸入电压滞后 180° （不管 ω 比 ω_c 大多少）

图 1.2.9 表示匹配 T 形网络的衰減系数 $\beta = \ln \frac{U_1}{U_2}$ 和相移 θ 与频率之間的关系。

以上的分析是对正弦訊号而言的。但是我們所要延迟的是脈冲訊号而不是正弦訊号；如脈冲技术中所述，任何脈冲都包含无限多正弦諧波分量，不过它們的相对重要性隨频率而

圖 1.2.9 衰減系數 β 和相移 θ 與頻率的關係

異。例如對寬度為 τ_H 的矩形脈衝來說，頻率低於 $\frac{4}{\tau_H}$ 的諧波分量是比較重要的。如果網格能讓重要波分量平等地通過，即衰減和時延不隨這些諧波的頻率而變，則脈衝在通過網格後，其形狀不致發生嚴重的畸變。

對 T 形網格來說，如果令負載電阻等於 $\sqrt{\frac{L}{C}}$ ，則對頻率大致低於 $\frac{1}{2}\omega_c$ 的諧波分量可以作到近似地匹配，（參看圖 1.2.8），並且都沒有衰減（參看圖 1.2.9a）不過只有對頻率比 ω_c 低得多的諧波分量來說，相移才大致為（參看（1.2.10）式）

$$\theta = \operatorname{tg}^{-1} \omega \sqrt{LC} \cong \omega \sqrt{LC}$$

或者延時

$$\tau = \frac{\theta}{\omega} = \sqrt{LC} = \text{常數。}$$

在設計計算時，首先要知被延遲脈衝的幅諧曲線，並根據許可畸變來決定所需的通頻帶 ω_0 ，例如延時為 τ_H 的矩形脈衝時，可令 ω_0 等於 $\frac{1}{\tau_H}$ 、 $\frac{2}{\tau_H}$ 或 $\frac{3}{\tau_H}$ 等等。然後，再決定所需通頻帶與網格通頻帶之比 $\eta_0 = \frac{\omega_0}{\omega_c}$ ，這個比值不應大於 $\frac{1}{2}$ 。 η_0 值愈小，脈衝形狀的畸變愈小，但是截止頻率必須愈高；網格的每一段 L、C 必須愈小。

網格每一段的延遲時間是 $\tau = \sqrt{LC}$ ，n 段網格的總延遲時間是 $\bar{\tau} = n\sqrt{LC}$ ，如果為了提高截止頻率而減小 L 和 C，則對給定的延遲時間來說，網格的段數 n 必須加多。

真實傳輸線可以看做無限多段 T 型網格（或 II 型網格）串接的結果。每一段 L 和 C 都是無限小，因此它的截止頻率無限高。這說明脈衝在通過無損耗和傳輸線時是不會畸變的。

人工傳輸線截止頻率愈高及段數愈多，它就愈跟真實傳輸線相近；但這是跟我們對延時網格的要求是違反的（在結構與工藝上也都是不易實現的）。

矩形脉冲的畸变通常用它边缘上升时间 δ 来作说明。根据数学分析，上升时间关系大致是 $\delta = \frac{q}{\omega_0}$ ，其中 $q = 2\pi(0.37 \sim 0.45)$ 。在比值 η_0 及上升时间 δ 规定后

$$\omega_c = \frac{2}{\sqrt{LC}} = \frac{q}{\eta_0 \delta}$$

网络的负载电阻应该是：

$$w_T = \sqrt{\frac{L}{C}}$$

以上两式决定了

$$C = \frac{2\eta_0 \delta}{q w_T} \quad (1.2.11)$$

及

$$L = \frac{2w_T \eta_0 \delta}{q} \quad (1.2.12)$$

然后再根据延迟时间 τ_u 来决定网络的段数 n

$$n = \frac{\tau_u}{\sqrt{LC}} \quad (1.2.13)$$

T 形 (及 II 形) 链型网络由于比值 η 太小，段数必须很多，结构因而比较复杂。因此它的应用受到限制。

2) II 形链型网络

这种网络与 T 型大同小异。按照图 (1.2.10) 来作分析，可得

$$w_T = \frac{\sqrt{\frac{Z}{Y}}}{\sqrt{1 + \frac{ZY}{4}}} = \frac{\sqrt{\frac{L}{C}}}{\sqrt{1 - \frac{1}{2}\omega^2 LC}} \quad (1.2.14)$$

及

$$\begin{aligned} \dot{U}_1 &= \dot{U}_2 \left(1 + \frac{YZ}{2} + \frac{Z}{w} \right) = \dot{U}_2 \left[\left(1 - \frac{1}{2}\omega^2 LC \right) \right. \\ &\quad \left. + j\omega \sqrt{LC} \sqrt{1 - \frac{1}{4}\omega^2 LC} \right] \end{aligned} \quad (1.2.15)$$

(1.2.15) 式和 (1.2.9) 式完全相同，因此 II 形网络的衰减和相移与 T 型网络完全一样。两种网络的区别仅在于特性阻抗与频率的关系 (比较图 1.2.11 和图 1.2.8)，因此前面对于 T 形网络的结论和设计计算方法同样适用于 II 形网络。

3) m 推演网络

T 形和 II 形网络的缺点在于相移只有在频率 ω 比网络的截止频率 ω_c 小得多时才与频

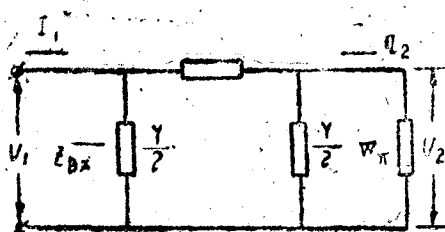


圖 1.2.10 n型鏈型網路

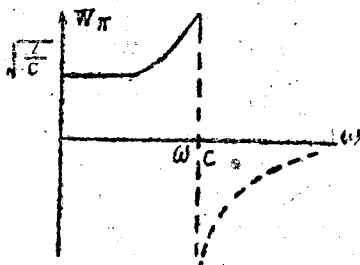


圖 1.2.11 n型網路特性阻抗與頻率的關係

率成良好的直接关系，这使得网络所能传递的频带 ω_c 不能被充分利用。若要提高比值 $m = \frac{\omega_0}{\omega_c}$ ，我們必須設法扩大时延 τ 能基本上保持不变的频率范围。m 推演网络在数值 m 的适当选择下可以較好地达到这个目的，現在来分析这个网络。

m 推演网络是从 T 形（或 II 形）网络推演过来的。条件是特性阻抗和截止频率与 T 型的（或 II 型的）相等。但其阻抗要比 T 型（或 II 型）的大 m 倍。

图(1.2.12)所示是从 T 形网络推演过来的

m 推演网络，其阻抗等于 mZ ，导纳暂用 Y' 代表

这个网络的特性阻抗应等于：

$$w_T' = \sqrt{\frac{mZ}{Y'}} \sqrt{1 + \frac{mZY'}{4}}$$

根据替定条件， w_T' 应与 T 形网络的特性阻抗 w_T 相等，即

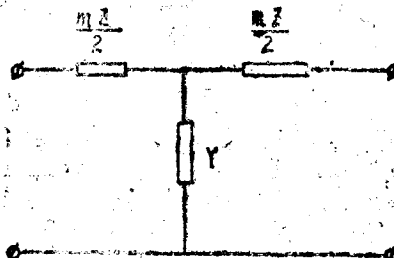


圖 1.2.12 m推演網路形式圖

$$\sqrt{\frac{mZ}{Y'}} \sqrt{1 + \frac{mZY'}{4}} = \sqrt{\frac{Z}{Y'}} \sqrt{1 + \frac{ZY}{4}}$$

从这个式子可以解得

$$\frac{1}{Y'} = \frac{1}{mY} + Z \frac{1-m^2}{4m} \quad (1.2.16)$$

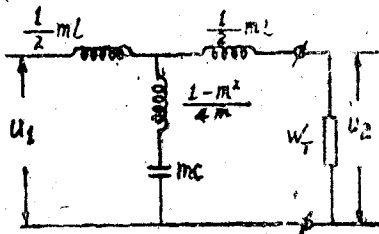
$$\text{或者 } Y' = \frac{4mY}{4 + (1-m^2)ZY} \quad (1.2.17)$$

图(1.2.13)所示是根据(1.2.16)式画下来的。m 推演网络的输出端接着等于特性阻抗 $w_T' = w_T$ 的负载时，按照(1.2.9)式，可以写下：

$$U_1 = U_2 \left[1 + \frac{mZY'}{2} + Y' w_T \right]$$

将(1.2.17)式所代表的 Y' 代入上式，

得到



$$\dot{U}_1 = \dot{U}_2 \left[1 + \frac{2m^2ZY}{4 + (1-m^2)ZY} + \right. \\ \left. + \frac{4mY}{4 + (1-m^2)ZY} W_T \right]$$

图 1.2.13 m 推演网络结构参数图

因为

$$Z = j\omega L, \quad Y = j\omega C \text{ 及 } W_T = \sqrt{\frac{L}{C}} \sqrt{1 - \frac{1}{4}\omega^2 LC}$$

所以

$$\dot{U}_1 = \dot{U}_2 \left(1 - \frac{\frac{m^2}{2}\omega^2 LC}{1 - \frac{1-m^2}{4}\omega^2 LC} + i \frac{m\omega\sqrt{LC}}{1 - \frac{1-m^2}{4}\omega^2 LC} \sqrt{1 - \frac{1}{4}\omega^2 LC} \right)$$

$$\text{令 } \frac{1}{4}\omega^2 LC = \frac{\omega^2}{\omega_c^2} = \eta^2$$

我们有

$$\dot{U}_1 = \dot{U}_2 \left[1 - \frac{2m^2\eta^2}{1 - (1-m^2)\eta^2} + i \frac{2m\eta}{1 - (1-m^2)\eta^2} \sqrt{1 - \eta^2} \right] = \dot{U}_2 [A + iB] \quad (1.2.18)$$

在 $\eta < 1$ 或 $\omega < \omega_c$ 时， $\sqrt{A^2 + B^2} = 1$ 所以

$$\dot{U}_1 = \dot{U}_2 e^{i\theta} \quad (1.2.19)$$

其中

$$\theta = \operatorname{tg}^{-1} \frac{2m\eta\sqrt{1-\eta^2}}{1 - (1-m^2)\eta^2} \quad (1.2.20)$$

(1.2.19) 式和 (1.2.20) 式说明，在 $\omega < \omega_c$ 时，衰减

$\beta = m \frac{U_1}{U_2} = 0$ ；而相移决定于 η 和 m

(1.2.20) 式对 η 微分得到

$$\frac{d\theta}{d\eta} = \frac{2m}{\sqrt{1-\eta^2}(1-\eta^2(1-m^2))} \quad (1.2.21)$$

因为 $\eta = \frac{\omega}{\omega_c}$ ， $\frac{d\theta}{d\eta} = \omega_c \frac{d\theta}{d\omega} = \omega_c \tau$ 这里 τ 是时延，所以有

$$\tau = \frac{2m}{\omega_c \sqrt{1-\eta^2(1-\eta^2(1-m^2))}} \quad (1.2.22)$$

我們所追求的目的就是希望时延 τ 能在尽可能宽的頻率范围内保持恒定。要达到这个目的，必須求出最适当的 m 值，以使 (1.2.22) 式在分母中 η 或頻率 ω 变化时变化的最小。

将 (1.2.22) 式分母部分展成級數，可得

$$\sqrt{1-\eta^2(1-\eta^2(1-m^2))} = 1 - \left(\frac{3}{2} - m^2\right)\eta^2 + \frac{1}{2}\left(\frac{3}{4} - m^2\right)\eta^4 \dots$$

因为在网絡通頻帶以內， $\eta < 1$ ，所以要使上式等号右边尽可能少随 η 变化，最好令 η^2 的系数等于零，如此得到

$$\frac{3}{2} - m^2 = 0$$

或者

$$m = \sqrt{\frac{3}{2}} \cong 1.23 \quad (1.2.23)$$

最后結果說明，由推演网絡的数值 m 如果等于 1.23，則时延可在最大的頻率范围内保持基本上恒定，而能无畸变的通过 m 推演网絡的信号的頻帶可以最寬，或者說， $\eta_0 = \frac{\omega_0}{\omega_c}$ 的值

可选得最大。图 1.2.14 表示 $\frac{\tau}{\tau_0}$ 在不同的 m 下与 η 之间的关系，这里 $\tau_0 = \frac{2m}{\omega_c}$ 是 $\eta=0$ 时的时延

必須指出，我們在上面的推演中沒有考慮到电感线圈和电容器中不可避免的損耗，因此 m 的最佳值，只能算是一个大体上的数值，不过實驗証明， $m=1.23 \sim 1.27$ 能夠給出相当令人满意的結果。

与 T 形或 II 形网絡相比， m 推演网絡有两大优点：

①对給定的所需通頻帶 ω_0 來說，网絡的 ω_c 可以选得窄一些，或者說比值 $\eta_0 = \frac{\omega_0}{\omega_c}$ 可以提得高一些，因此网絡的段数可以少一些。

②每段网絡的时延等于 $\frac{2m}{\omega_c} = m \sqrt{LC}$ 即比 T 形或 II 形网絡大了 m 倍。

m 的最佳值大于 1。使得电感 $\frac{1-m^2}{m^2}L$ 成为負值(參見图1.2.13)。独立的线圈是不可能有負的电感量的，但是两个互相耦合后的线圈(图 1.2.15a)在参数的适当选择下，可以等效于三个接成星形的线圈(图 1.2.15b)。